

東北大学 正員 岩崎 敏夫
 " 学生員 ○西田 吉男
 " " 池田 秀生

§1 序論

宮城県内の日降雨を多变量解析の一分野である成因分析法を用いて解析すると、県内全体を支配する主成因子(75.2%)、土地の高低差による第二因子(8.5%)及び南北の地理的差による第三因子(5.4%)の三つでその成因要素の約90%を説明できることが判っている。これを限りある水資源の有効利用の面から見ると、県内のある地域が低水(豊水)状態にあれば県内全域がほぼ同様の相にあるわけで、この事は従来の固定的な操作規則に基づくダム群による水資源の有効利用を図る上で極めて不利である。

本論文は、まず§2で Kalman フィルター理論及び修正 GMHDH 理論を実際の流域に適用して時間及び日流出量の予測を行ない、洪水規模の予知あるいは予備放流量の規模等の決定が事前に於いて可能であることを示し、続いて§3では一般にダム群による統合操作が明らかに制御過程であることから、最適制御の手法として有効な D.P. を名取川、広瀬川両水系から構成される並列ダムシステムの解析に適用し、従来の河川計画と比較した上で流出量の予測と D.P. を組合せた“ダム群の動的統合操作”の有効性を、主に治水の面から論じたものである。

§2 Kalman フィルター理論及び修正 GMHDH 理論による流出量の予測と比較

1. Kalman フィルター理論

本理論は元来線形システムの状態推定として導かれているが、システム・パラメータの変化を記述するシステム方程式を用いて降雨-流出系全体を1つのパラメータ同定問題と考えることにより、任意の流域における流出量を予測することができる。ここで、本理論を同定問題に適用する場合にはシステム方程式は必ずしも線形である必要はない、パラメーターに関して線形であればよいので本論文では貯留関数式を定義化した式

$$z(t+1) = d_1 y(t) + d_2 y(t-1) + \cdots + d_i y(t-i+1) + \beta_1 u(t) + \beta_2 u(t-1) + \cdots + \beta_j u(t-j+1) \quad (1)$$

ここに z : 予測流量, y : 観測流量, d_i, β_j : 同定すべきパラメーター, $i, j = 1, 2, 3, \dots$

をシステム方程式として用いている。

パラメーター同定フローは図2-1に示す通りで、これより次式が得られる。

$$\hat{h}_{k+1|k} = \Psi_k \hat{h}_{k|k} + K_{k+1}(y_{k+1} - M_k \hat{h}_{k|k}) \quad (2)$$

ここで、 K_{k+1} (Kalman Gain)は次式により求まる。

$$K_{k+1|k} = (P_{k+1|k} M^T) (M P_{k+1|k} M^T + R_{k+1})^{-1} \quad (3)$$

ここに $P_{k+1|k}$ 及び $P_{k+1|k}$ は推定誤差の共分散行列で次式により導出できる。

$$P_{k+1|k} = \Psi_k P_{k|k} \Psi_k^T + Q_k \quad (4)$$

$$P_{k|k} = (I - K_k M_k) P_{k|k-1} \quad (5)$$

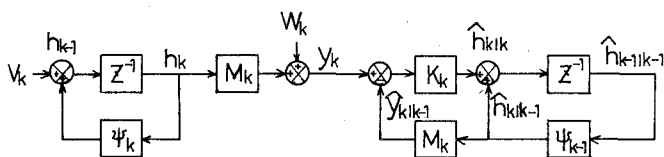
また Q_k, R_k はそれぞれシステム雑音 W 及び観測雑音 V の変動行列で、 Q_k の算出法としては例えば[2]がある。

1) 橋本、中村、西田：宮城県内の水資源について、昭47.農政文部

2) RAMAN K. MEHRA IFFE 1971 Vol AC-16, No. 1

3) 池田三郎ら：GMHDHによる半確定システムの同定と予測

4) 高橋・池端・木尾：水量制御からみたダム群のシステム設計に関するもの論文



h_k : Kステップでのパラメーター
 Ψ_k : " " 遷移行列 M_k : " " 観測値行列
 K_k : " " カルマンゲイン \hat{h} : 最適推定値であることを示す
 $\hat{h}_{k+1|k-1}$: K-1ステップまでの観測情報による Kステップでの y_k の最適推定値

図 2-1 システムパラメータ同定フロー

2. 修正GMHD理論

GMHD (Group Method of Data Handling - 発見的自己組織化法) は高次の非線形性を持ち、しかもシステムの構造そのものが未知な系に対して少數のデータで高次の多項式近似を行ないシステムの構造を決定してある入力に対する応答を予測するものである。修正GMHD理論は、流出量の急増に対して前者による予測値の追従性が鈍いために入力変数の選択と中間変数³⁾の発生ルールに関して基本原理を修正したものである。

3. Kalman理論による洪水の Q_h -line 予測例

本理論を洪水の Q_h -line 予測に適用した。図2-3 は予測の時間間隔を各々変化させたもので間隔が大きくなるとピークが外れ値が大きくなる。また図2-4 はある時刻より後のデータを全て自己増殖させたものである。図2-5 は大倉、釜房両ダムへの適用例であるが、釜房ダムではダム側の予測値が観測値を上回っているのが目立つ。なお以上の予測には

$$z(t+1) = a_1 y(t) + a_2 y(t-1) + b_1 u(t) + b_2 u(t-1) \quad (6)$$

なるシステム方程式を用いている。

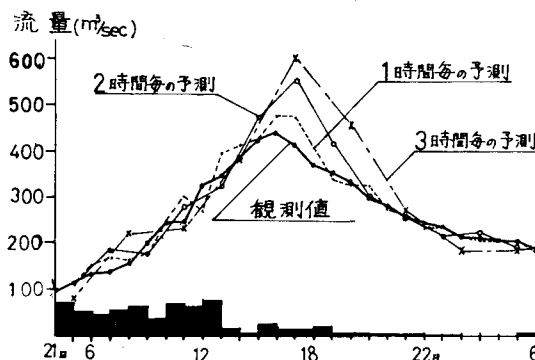


図2-3 四+四田ダムでの予測(昭43.8)

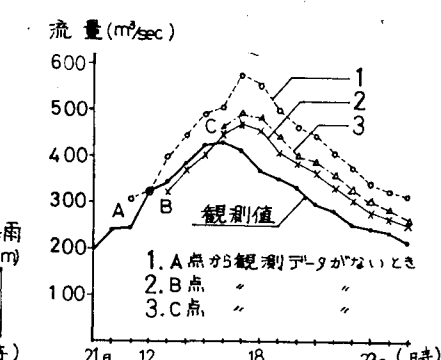


図2-4 四+四田ダムでの予測

4. 兩理論の日流出予測への適用

両理論を鳴瀬川流域の日流出量予測に適用した。流域図を図2-6に、結果を図2-8に示す。なお、コヒーレンスを求めたところ、非線形性の非常に高い流域であることがわかっている。



図2-6 流域図

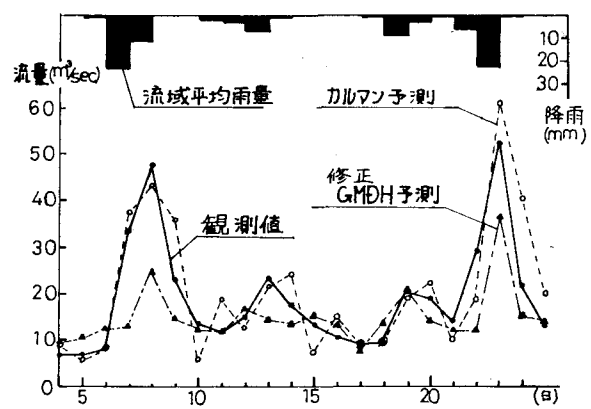


図2-8 鳴瀬川日流出予測(昭48.6.)

Kalman 理論による予測には各地地盤の予測値とティーセン分割により流域平均雨量を求めて予測したものと比較したところ、後者の方がより良好な結果を与えることがわかった。なお、システム方程式は次式を用いた。

$$\hat{z}(t+1) = \phi_1 y(t) + \phi_2 y(t-1) + \beta_1 u(t) + \beta_2 u(t-1) + \dots + \beta_7 u(t-6) \quad (7)$$

§ 3 モルタルによる並列ダムの最適ゲート操作

1. モルタルによる定式化

いま、制御期間が $1, 2, \dots, T$ で与えられ、任意の期間 t でのダム群の流入量、放流量が各々 $I_n(t)$, $O_n(t)$ と既知で期間 t の初期貯水水量が $S_n(t)$ であるとき、連続式は

$$S_n(t+1) = S_n(t) + I_n(t) - O_n(t) \quad (8)$$

で与えられる。また制約条件及び初期条件を

$$O_n(t) \leq g_n(S_n(t) + I_n(t)), C_n = S_n(T+1) \quad (9)$$

モルタルによる定式化は次のようになる。

$$\min_{f_n(S_1, S_2, \dots, S_N)} \left\{ \sum_i D_i(O_i) + f_{T+1}(S_1, \dots, S_N) \right\} \quad (10)$$

なお本論文では治水制御の目的を、洪水のピーク流量を可能な限り小さくし、各評価地盤での被害のウェイトをできるだけ均等化し最小化することにあき、評価関数として次式を用いている。

$$D_i(O_i(t)) = \{ (W+1) \cdot m_i \}^{a_i \theta_i(t) - b_i} \quad (11)$$

2. 並列ダムシステムへのモルタルの適用並びに結果

著者は、名取川水系金房ダムと広瀬川水系大倉ダムが図3-1に示した1つの並列ダムシステムを構成することに着目し、広瀬川計画の対象である昭25.8.4~5の洪水をモルタルを用いて解析した。なお解析にあたり流量 $100 \text{ m}^3/\text{sec}$ を1単位とし、洪水ハイドロは同時に調節地盤に達するよう洪水到達時間を考慮した平行移動を施してある。使用モルタル並びに解析結果は、表3-1、表3-2及び図3-2に示した。なお初期値は $S_1=50, S_2=30$ で与えた。

3. 解析結果の検討

表3-2(A)は箇所でかなりの氾濫を来すため最終を $S_1=50, S_2=30$ とするゲート操作は適当でない。表3-2(B)は最終を $S_1=103, S_2=57$ としたもので、現行計画高水流量をかなり下回る洪水流量となり、治水の目から十分に果しているといえる。

§ 4 むすび： 洪水規模、予備放流量の規模等が予知できれば洪水期に貯水位を制限水位以下に限定しないで、既存のダムの貯水能力を充分に發揮する操作が可能となる。結局本論文で述べた流体予測とモルタルを組合せたダム群の動的統合操作を行ってはじめて限りある水資源をより効率よく活用することが可能となる。

表 3-1

表 3-2 (A)

T	1	2	3	4	5	6	7	8	9
11	11	12	17	15	14	11	7	7	6
12	8	11	12	9	2	1	0	0	0
Q1	7	9	11	14	10	1	1	1	1
Q2	5	8	10	7	9	9	5	6	4
Q3	1	1	1	1	1	1	1	1	1
Q4	18	21	28	29	24	12	8	8	7
Q5	13	19	22	16	11	10	5	6	4
Q6	32	41	51	46	36	23	14	15	12

T	1	2	3	4	5	6	7	8	9	10
S1	50	54	66	83	95	97	92	82	69	50
S2	30	32	44	56	56	57	54	46	40	30
O1	7	0	0	3	12	16	17	20	25	
O2	6	1	8	7	1	4	8	6	10	
Q1	14	9	11	17	22	17	18	21	26	
Q2	11	9	10	11	10	18	13	12	14	
Q3	26	19	22	32	34	31	32	34	41	

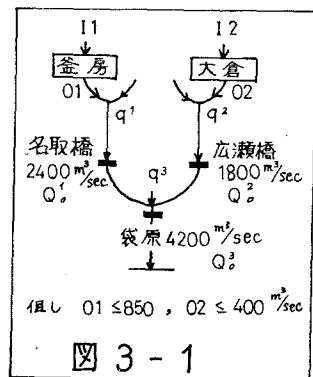


図 3-1

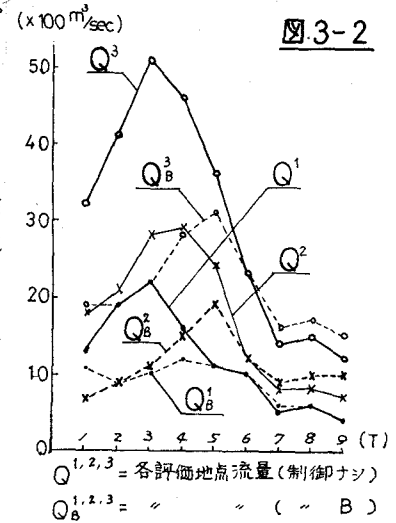


図 3-2

表 3-2 (B)

T	1	2	3	4	5	6	7	8	9	10
S1	50	61	73	20	104	109	109	108	103	
S2	30	32	42	54	58	58	58	57	57	57
O1	0	0	0	1	9	11	8	9	9	
O2	6	1	0	5	2	1	1	0	0	
Q1	7	9	11	15	19	12	9	10	10	
Q2	11	9	10	11	10	18	13	12	14	
Q3	19	22	28	31	32	34	31	33	35	